

Original Article

Evaluation of the HSV-1 LAT Transcript Expression Effects on TGF- β Signaling Pathway in Human Neuroblastoma Cells

Ehsan Arefian¹, Taravat Bamdad^{2*}, Masoud Soleimani³, Amir Atashi⁴, Parviz Fallah⁵

1- Ph.D. Candidate, Department of Virology, Faculty of Medical Sciences, Tarbiat Modares University, Tehran, Iran

2- Associated Professor, Department of Virology, Faculty of Medical Sciences, Tarbiat Modares University, Tehran, Iran

3- Associated Professor, Department of Hematology, Faculty of Medical Sciences, Tarbiat Modares University, Tehran, Iran

4- Ph.D., Department of Stem Cell Biology, Stem Cell Technology Research Center, Tehran, Iran

5- M.Sc., Department of Molecular Biology and Genetic Engineering, Stem Cell Technology Research Center, Tehran, Iran

*Corresponding Address: P.O.Code: 1411713116, Department of Virology, Faculty of Medical Sciences, Tarbiat Modares University, Tehran, Iran
Email: bamdad_t@modares.ac.ir

Received: 12/Oct/2011, Accepted: 20/Dec/2011

Abstract

Objective: Infection with herpes simplex virus type 1 induces viral latency in neuron trigeminal ganglia. The late associated transcript (LAT) is uniquely expressed in infected neural cells, however no coding protein associated with these transcripts has been identified in infected cells. It has been shown that six microRNAs transcribed from LAT have the capabilities to affect the cell signaling pathways, thus interfering in pathways such as those of cell differentiation and proliferation. Transforming growth factor beta (TGF- β) pathway is a critical pathway among cell signaling circuits. The Smad4 protein, as an important member of the TGF- β signaling pathway, mediates the connection between membrane receptors, cytoplasmic kinases, and nuclear transcription factors.

Methods: This study bioinformatically and experimentally evaluated LAT microRNA expression and assessed microRNA targeting of Smad4 transcripts in human neuroblastoma cells by using real-time PCR.

Results: Analysis of two different softwares results showed that the Smad4 gene was targeted by LAT-derived microRNAs at multiple sites. Over-expression of LAT microRNAs in BE2(c) cells caused reduction in Smad4 transcripts.

Conclusion: The results of bioinformatical analysis with relative quantification of Smad4 transcripts and its downstream-related genes such as cyclinD, CDK2, and Myc showed that the LAT transcript could control Smad4 expression.

Keywords: Herpes Simplex Virus-1, Latency Associated Transcript, MicroRNAs, Smad4 Protein

Modares Journal of Medical Sciences: *Pathobiology*, Vol 14, No 4, Winter 2012, Pages: 51-62

بررسی تأثیر بیان رونوشت وابسته به نهفتگی ویروس هرپس سیمپلکس تیپ ۱ بر مسیر TGF-β در سلول‌های نوروبلاستومای انسانی

احسان عارفیان^۱, طراوت بامداد^{۲*}, مسعود سلیمانی^۳, امیر آتشی^۴, پرویز فلاح^۵

۱- دانشجوی دکتری تخصصی، گروه ویروس‌شناسی پزشکی، دانشکده علوم پزشکی، دانشگاه تربیت مدرس، تهران، ایران

۲- دانشیار، گروه ویروس‌شناسی پزشکی، دانشکده علوم پزشکی، دانشگاه تربیت مدرس، تهران، ایران

۳- دانشیار، گروه خون‌شناسی آزمایشگاهی و بانک خون، دانشکده علوم پزشکی، دانشگاه تربیت مدرس، تهران، ایران

۴- دکتری تخصصی، گروه بیولوژی سلول‌های بنیادی، مرکز تحقیقات فناوری بنیاد، تهران، ایران

۵- کارشناس ارشد، گروه بیولوژی مولکولی و مهندسی ژنتیک، مرکز تحقیقات فناوری بنیاد، تهران، ایران

آدرس نویسنده مسئول: ایران، تهران، کد پستی: ۱۴۱۱۷۱۳۱۶، دانشگاه تربیت مدرس، دانشکده علوم پزشکی، گروه ویروس‌شناسی

Email: bamdad_t@modares.ac.ir

دریافت مقاله: ۹۰/۰۷/۲۱
پذیرش مقاله: ۹۰/۰۹/۳۰

چکیده

هدف: ویروس هرپس سیمپلکس تیپ یک پس از آلووه کردن میزان به صورت طبیعی در گانگلیون نوروں تربیتی‌بال به صورت خفته در می‌آید. در این وضعیت تنها رونوشتی که از ویروس در سلول قابل تشخیص است رونوشت وابسته به نهفتگی (LAT) است که این رونوشت microRNA‌هایی را تولید می‌کند که قادر است مسیرهای پیامرسانی در سلول را دستخوش تغییر نماید. یکی از مسیرهای کلیدی پیامرسانی سلول مسیر فاکتور رشد تومور (TGF-β) است. در این مسیر ژن Smad4 به عنوان یک پروتئین مهم رابط بین گیرنده‌های غشاء‌ی کینازهای سیتوپلاسمی و فاکتورهای رونویسی هسته‌ای است. این تحقیق با بررسی بیان microRNA‌های ویروسی در سلول میزان هدف‌گیری ژن Smad4 با این microRNA‌ها را بررسی نموده است.

مواد و روش‌ها: پس از ترانسفکت ژن LAT به داخل سلول‌های BE-2(c)، بیان microRNA‌های وابسته به LAT در این سلول‌ها به کمک واکنش زنجیره‌ای پلیمراز کمی (Real-Time PCR) ارزیابی شد و به کمک روش‌های مبتنی بر بیان‌گورماتیک امکان هدف‌گیری ژن Smad4 با این microRNA با نیز بررسی و در ادامه بیان ژن Smad4 و ژن‌های پایین دست آن به کمک واکنش زنجیره‌ای پلیمراز کمی مطالعه شد.

نتایج: شواهد و نتایج نشان می‌دهد که رونوشت LAT در سلول میزان تولید microRNA‌هایی می‌کند که تجزیه و تحلیل‌های بیان‌گورماتیکی دو الگوریتم متفاوت گواهی بر هدف‌گیری ژن Smad4 توسط این microRNA‌ها می‌دهد این در حالی است که نتایج واکنش زنجیره‌ای پلیمراز کمی نیز تأییدی بر این ادعاست.

نتیجه‌گیری: نتایج مبتنی بر تجزیه و تحلیل‌های بیان‌گورماتیک و بررسی بیان ژن رونوشت Smad4 و پروتئین‌های پایین دستش همانند CDK2، CyclinD، Myc نشان دهنده کنترل بیان این ژن توسط microRNA‌های ویروس هرپس سیمپلکس تیپ یک است.

کلیدواژگان: ویروس هرپس سیمپلکس تیپ یک، رونوشت وابسته به نهفتگی، Smad4، microRNA

مجله علوم پزشکی مدرس: آسیب‌شناسی زیستی، دوره ۵، شماره ۴، زمستان ۱۳۹۰، صفحات: ۵۱-۶۲

مقدمه

Simplex Virus Type 1: HSV-1) در انسان و حیوانات

مدل آزمایشگاهی به صورت خفته در می‌آید. رونوشت وابسته عفونت هرپس سیمپلکس ویروس تیپ یک (Herpes

LAT از مرگ برنامه‌ریزی شده سلول‌ها جلوگیری می‌نماید. بیان پروتئین ICP0 (Infected Cell Protein 0) که یک (Transcriptional Activator) است و در دسته پروتئین‌های فوری ویروس قرار می‌گیرد، تحت تأثیر miR-H2-3p تولید شده توسط LAT کاہش می‌یابد که این منتج به خفتگی ویروس در سلول عصبی می‌شود [۹-۷]. به نظر می‌رسد تأثیرات microRNA ویروسی در سلول‌های میزبانی به شدت گسترده‌تر از آن چیزی است که تاکنون در مورد آن مطالعه شده است.

پروتئین Smad4 به عنوان یکی از اعضای خانواده Smad (Tumor Growth Factor- β : TGF- β) متصل به غشای سلولی، فسفریله شده و فعال می‌شود. این پروتئین‌ها به صورت ترکیبات همسان (Homomeric) یا غیرهمسان (Heteromeric) با دیگر اعضای خانواده Smad وارد هسته شده و با شناسایی توالی‌های هدفشان را تنظیم می‌کند. DNA متصل می‌شود و بیان ژن‌های عملکردی برای مسیر TGF- β در تعاییر سلول‌های SH-SY5Y به سمت سلول‌های نورونی ترشح کننده تیروزین هیدروکسیلاز ایفا نهضت می‌کند [۱۰]. از سویی دیگر پروتئین Smad4 با مهار پروتئین (Collapsin Response Mediator Protein 2) CRMP2. فرایند گسترش و تشکیل نورون‌های دوقطبی از نورون‌های چند قطبی را تحت کنترل قرار می‌دهد [۱۱]. مطالعات نشان داده است (Bone Morphogenetic Proteins) BMP که مسیر پیام‌رسانی با واسطه Smad4 قادر است که تکثیر و خفتگی سلول‌های بنیادی نورونی و فرایند نورون‌زاویی را در هیپوکمپ (Hippocampus) تنظیم نماید [۱۲].

از آنجا که مطالعه نقش LAT بر رفتارهای سلولی صرفاً به حوزه خودکشی سلولی و مکانیسم‌های خفتگی محدود شده این پژوهش در نظر دارد که آثار رونوشت LAT به ویژه microRNA‌های حاصل از LAT را بر پروتئین‌های سلولی

به نهفتگی (Latency Associated Transcript: LAT) ویروس HSV-1 طی دوره خفتگی ویروس به صورت گسترده‌ای در سلول‌های نورونی بیان می‌شود و در اعمال خفتگی ویروس و عود مجدد آن ایفای نقش ویژه‌ای می‌کند. از سویی دیگر تحقیقات گسترده قبلی به صورت وسیعی نشان داده‌اند که LAT بر سرنوشت سلول‌های بیان کننده آن مؤثر بوده و مسیرهای ژنی گوناگون، از قبیل مرگ برنامه‌ریزی شده سلولی (Apoptosis) را تحت تأثیر قرار می‌دهد. سازه ژنی حامل ژن LAT که به صورت پایدار در رده سلول نورونی بیان می‌شود، همانندسازی ویروس را مهار کرده و میزان mRNA ژن‌های فوری (Immediate Early Genes) ویروس را کاهش می‌دهد [۱، ۲]. ویروس هرپسی که در ناحیه ژن LAT دارای جهش شده قادر است در گانگلیون تریزی‌مینال (Trigeminal Ganglion) خرگوش به صورت گسترده‌ای مرگ برنامه‌ریزی شده سلولی را اعمال کند؛ این در حالی است که ویروس وحشی مرگ برنامه‌ریزی شده را در سلول میزبان مهار می‌کند [۳]. مطالعات دیگر نشان داده است که فعالیت کاسپازها در سلول‌های نوروبلاستومای موشی (Neuro-2A) که توسط ویروس‌هایی با LAT جهش یافته، آلدوده شده‌اند افزایش می‌یابد در حالی که در سلول‌های آلدوده شده توسط ویروس‌های وحشی کاهش نشان می‌دهد. در سلول‌های نوروبلاستومای موشی ژن LAT قادر است رونوشت‌های ژن (L) (B-cell lymphoma-extra Bcl-x(L)) قابل (Antiapoptotic) را محدود و فعالیت آنتی‌آپوپوتیک (Large) این ژن را مهار کند [۴]. طی تحقیقات دیگر مشخص شده که رونوشت LAT ویروس قادر است با ممانعت از فعالیت کاسپاز-۸ و کاسپاز-۳-۶ و قطعه قطعه شدن ژنوم از اعمال مرگ برنامه‌ریزی شده سلولی جلوگیری به عمل آورد [۵، ۶].

رونوشت LAT به عنوان یک RNAی تنظیم کننده که پروتئینی را بیان نمی‌کند با تولید چند sRNA و microRNA (Small RNA) قادر است رفتار سلول‌ها را تحت تأثیر قرار دهد. سلول‌های نوروبلاستومای موشی که در آن‌ها بیان می‌شود به واسطه sRNA1 و sRNA2 تولید شده توسط

تأثیر بیان رونوشت وابسته به نهفتگی بر مسیر TGF- β

کار هر آزمون دوبار تکرار شد.

ارزیابی بیان microRNAهای تولید شده توسط LAT

بیان microRNA مرتبط با LAT در سلول (c) BE-2

۴۸ ساعت پس از ترانسفکشن پلاسمیدهای مربوط بررسی شد. دستورالعمل استخراج تمامی RNAهای سلولی به نحوی تغییر شکل یافت که با افزایش انکوپاسیون‌های سرد (۲۰- درجه سانتی گراد) و زمان و دور ساترنیفوژ، RNAهای microRNA سلولی تغییر شود. پس از استخراج کل RNAهای سلولی کیفیت RNAهای استخراج شده و میزان غلظت آن به کمک الکتروفورز RNA و اسپکتروفوتومتری آن مشخص شد.

به کمک کیت 1st-Strand cDNA Synthesis Kit (Agilent Technologies, Stratagene Products Division, USA). به انتهای ۳' هر RNA یک دم پلی A متصل شد. با این کار طول microRNA به منظور ارزیابی‌های بعدی طویل شد. سپس با استفاده از یک آغازگر (Primer) ستز شده توسط شرکت سازنده و منطق با دم پلی A هر RNA طی واکنش رونویسی معکوس بر اساس دستورالعمل شرکت سازنده cDNA کلی ساخته شد. مراحل مختلف برنامه بدین شرح بود که در گام اول میزان ۱ میکروگرم از RNA برای واکنش پلی آدنیلیسیون (Polyadenylation) استفاده شد. سپس با استفاده از یک آغازگر مکمل ناحیه پلی آدنیلیه شده، cDNA microRNA مورد نظر ساخته شد. برای ارزیابی هر (mir-H2, mir-H2*, mir-H3, mir-H4, mir-H4*, mir-H5, mir-H7, miR8) یک آغازگر اختصاصی سنس (Sense) براساس دستورالعمل کیت طراحی و ستز شد (جدول ۱ الف). آغازگر آنتی سنس (Antisense) به صورت ثابت برای تمامی microRNAها توسط شرکت سازنده تهیه شده بود. طی یک واکنش زنجیره‌ای پلیمراز کمی تناسی مبتنی بر رنگ سایبر گرین (Sybr Green Stain)، میزان بیان هر High specificity miRNA QPCR براساس دستورالعمل Agilent Technologies, Stratagene core reagent kit

مورد بررسی قرار دهد. یکی از این پروتئین‌ها، Smad4 است که براساس تحقیقات انجام گرفته در این مطالعه نحوه تأثیرپذیری آن توسط LAT گزارش می‌شود.

مواد و روش‌ها

سلول و پلاسمید

سلول SK-N-BE2(c) که یک سلول با منشاء نوروبلاستومای انسانی است در دمای ۳۷ درجه سانتی گراد و میزان CO_2 ۵ درصد و در اتمسفر مرتبط در محیط (Gibco, USA) Dulbecco's modified Eagle's medium. تقویت شده توسط سرم جنبن گاوی ۱۰ درصد و پنی‌سیلین (Penicillin) ۱۰۰ واحد در میلی‌لیتر و استرپتومایسین (Streptomycin) ۵۰ میکروگرم در میلی‌لیتر کشت داده شد.

قطعه رونوشت LAT که در واقع برشی از ژنوم HSV-1 با طول ۸/۳ کیلوباز با آنزیم‌های EcoRV-BamHI است در ناقل pcDNA3.1 کلون شده است. این ناقل تحت عنوان ناقل pcDNA3-LAT که در ادامه با نام LAT از آن یاد خواهد شد توسط آقای دکتر بربان کولن (Cullen) از دانشگاه دوک در اختیار قرار گرفت [۷]. در این آزمون از ناقل pcDNA3.1 فاقد قطعه مورد نظر و با نام (cont-vect) به عنوان کنترل منفی استفاده شد. ناقل‌های مورد نظر در باکتری اشريشيا کلی (Escherichia coli) و سوبه Dh5α ترانسفورم شده و در محیط کشت محتوی دو آنتی‌بیوتیک زئوцин (Zeocin) و آمپی‌سیلین (Ampicillin) کشت داده شد. پلاسمید نوترکیب LAT استخراج شده و با هضم آنزیمی BamHI تأیید شد (اطلاعات مربوط نشان داده نشده است).

سلول (c) BE-2 در پلیت شش خانه به میزان 1×10^6 سلول در هر چاهک کشت داده شد. پس از طی زمانی حدود ۲۴ ساعت کشت سلول با تراکم سلولی ۸۰ درصد آماده ترانسفکشن پلاسمیدها بود که به کمک لیپوفکتامین ۲۰۰۰ (Invitrogen, USA) (Lipofectamine 2000) دستورالعمل شرکت سازنده انجام شد. برای بررسی تکارپذیری

تمامی وضعیت‌های سلولی یکسان بیان می‌شود). به عنوان یک کنترل داخلی یکسان‌سازی و به کمک روش دلتا سی تی ($\Delta\Delta CT$) تجزیه و تحلیل و گزارش شد.

جدول ۱ (الف) بیان LAT و microRNA‌های تولیدی آن به کمک روش واکنش زنجیره‌ای پلیمراز کمی این microRNA‌ها برای هر یک، آغازگر اختصاصی منطبق با توالی خود microRNA طراحی شد که در جدول نشان داده است. (ب) برای بررسی بیان ژن‌های سلولی به کمک واکنش زنجیره‌ای پلیمراز کمی برای هر یک از ژن‌ها آغازگرهای اختصاصی آن ژن در تقاطع نواحی کد کننده (اکرونی) طراحی شد

| الف: آغازگرهای اختصاصی برای تشخیص microRNA | | نام | توالی |
|--|---------------------------|-----------|---------------------------|
| mir-H2* | TCGCACGCCCGC | mir-H2 | CCTGAGCCAGGGACGA |
| mir-H3 | CTGGGACTGTGGGTT | mir-H4 | GTAGAGTTGACAGGCAAGC |
| mir-H4* | CTTGCCTGCTAACTCGCTA | mir-H5 | GTCAGAGATCCAACCCCTCC |
| mir-H6 | CACTTCCGGCTCTCCATC | miR-H7 | AAAGGGTCTGCAACCAAAG |
| miR-H8 | TATATAGGTTCAGGGGTIC | Hprt-1-F | CCTGGCGTCGTGATTAGTG |
| Smad4-F | CCAACTTTCACATTC | Hprt-1-R | TCAGTCCTGTCATAATTAGTC |
| Smad4-R | GGTAGTCGCTGTTATGATGGTAAG | Smad4-F | GGTAGTCGCTGTTATGATGGTAAG |
| cyclinD-F | ACCAACACAGACGTTG | Smad4-R | GGTAGTCGCTGTTATGATGGTAAG |
| cyclinD-R | CAACTGGCATCTCACAGG | cyclinD-F | ACCAACACAGACGTTG |
| CDK2-F | CGGAGCTGTATCGCAAATGC | cyclinD-R | CAACTGGCATCTCACAGG |
| CDK2-R | TGGCTTGGTACACATCCCTGGAAAC | CDK2-F | CGGAGCTGTATCGCAAATGC |
| MYC-F | AGCGACTCTGAGGAGGAAC | CDK2-R | TGGCTTGGTACACATCCCTGGAAAC |
| MYC-R | CTGCGTAGTGTGCTGATG | MYC-F | AGCGACTCTGAGGAGGAAC |

هدف‌یابی یک ژن توسط یک microRNA را ارزیابی می‌کند. براساس این الگوریتم هر جایگاه اتصال از لحاظ تکاملی مورد بررسی قرار می‌گیرد به طوری که در طول تکامل در موجودات گوناگون حفاظت شده باشد. الگوریتم دیگری که در این مطالعه استفاده شد مربوط به شرکت IBM (آمریکا) و RNA22 microRNA target detection تحت عنوان (http://cbcsrv.watson.ibm.com/rna22.html) است. این نرم‌افزار با تأکید به تعداد نوکلئوتیدهای شرکت کننده در انتهای ۵' و انرژی کل زنجیره دو رشته‌ای تشکیل شده بین microRNA و رونوشت مورد نظر و بدون توجه به امر حفاظت‌شدگی توالی هدف در طول تکامل نتایجش را اعلام می‌کند.

ارزیابی بیان ژن‌های مورد نظر

سلول‌های BE-2 (c) ۶۰ ساعت پس از ترانسفکشن ژن LAT

(Products Division, USA) تعیین شد. در نهایت نتایج هر آزمون به واسطه میزان بیان U6-snoRNA (رونوشت یک ژن خانه‌نگهدار است و با طولی کوتاه حدود ۷۰-۸۰ جفت باز در

جدول ۱ (الف) بیان LAT و microRNA‌های تولیدی آن به کمک روش واکنش زنجیره‌ای پلیمراز کمی این microRNA‌ها برای هر یک، آغازگر اختصاصی منطبق با توالی خود microRNA طراحی شد که در جدول نشان داده است. (ب) برای بررسی بیان ژن‌های سلولی به کمک واکنش زنجیره‌ای پلیمراز کمی برای هر یک از ژن‌ها آغازگرهای اختصاصی آن ژن در تقاطع نواحی کد کننده (اکرونی) طراحی شد

| نام | توالی |
|-----------|---------------------------|
| mir-H2* | TCGCACGCCCGC |
| mir-H2 | CCTGAGCCAGGGACGA |
| mir-H3 | CTGGGACTGTGGGTT |
| mir-H4 | GTAGAGTTGACAGGCAAGC |
| mir-H4* | CTTGCCTGCTAACTCGCTA |
| mir-H5 | GTCAGAGATCCAACCCCTCC |
| mir-H6 | CACTTCCGGCTCTCCATC |
| miR-H7 | AAAGGGTCTGCAACCAAAG |
| miR-H8 | TATATAGGTTCAGGGGTIC |
| Hprt-1-F | CCTGGCGTCGTGATTAGTG |
| Hprt-1-R | TCAGTCCTGTCATAATTAGTC |
| Smad4-F | CCAACTTTCACATTC |
| Smad4-R | GGTAGTCGCTGTTATGATGGTAAG |
| cyclinD-F | ACCAACACAGACGTTG |
| cyclinD-R | CAACTGGCATCTCACAGG |
| CDK2-F | CGGAGCTGTATCGCAAATGC |
| CDK2-R | TGGCTTGGTACACATCCCTGGAAAC |
| MYC-F | AGCGACTCTGAGGAGGAAC |
| MYC-R | CTGCGTAGTGTGCTGATG |

تجزیه و تحلیل و پیش‌بینی امکان هدف‌گیری LAT microRNA‌های

توالی microRNA‌های مرتبط با LAT ویروس HSV-1 از سایت مرجع و بانک اطلاعاتی mirbase (http://www.mirbase.org/) به دست آمد. به منظور دستیابی به ژن‌های هدف هر دو الگوریتم گوناگون با اساس تصمیم گیری متفاوت استفاده شد زیرا نرم‌افزارهای گوناگون با الگوریتم‌های مختص خودشان، در پیشگویی اتصال گوناگون با microRNA به ژن یا ژن‌های هدفش دارای نتایج متنوعی هستند. یکی از این دو نرم‌افزار؛ الگوریتم TargetScanCustom (http://www.targetscan.org/) به داده‌های اتصال سر ۵' بخش اصلی متصل شونده (Seed) microRNA هر microRNA به صورت کاملاً غیرمنعطف، امکان

نتایج

بررسی بیان microRNAهای LAT در سلول

ژن LAT پس از ترانسفکشن به داخل سلول‌های نوروبلاستومای انسانی microRNAهای مرتبط را تولید می‌کند. رونوشت غیر کد کننده LAT با تولید تعدادی از microRNAهای ویروسی سرنوشت مولکولی و رفتار سلول‌های میزان خود را دستخوش تغییر قرار می‌دهد. از سلول‌های BE-2(c) به نحوی کل RNA استخراج شد که میزان microRNAهای سلولی و ویروسی در آن تغییر شود. میزان microRNAهای بیان شده توسط LAT در دو گروه سلولی کنترل و ترانسفکت شده با pc-LAT با روش واکنش زنجیره‌ای پلیمراز کمی ارزیابی شد. نتایج نشان داد که کلیه microRNAهای LAT در سلول بیان می‌شود که بیانگر عملکرد بیانی رونوشت LAT در سلول‌های ترانسفکت شده است. در این آزمون عدم بیان mir-H6 که توسط رونوشت LAT تولید نمی‌شود به عنوان کنترل منفی ارزیابی شد.

بررسی بیانفورماتیکی هدف‌گیری ژن Smad4 با microRNAهای LAT

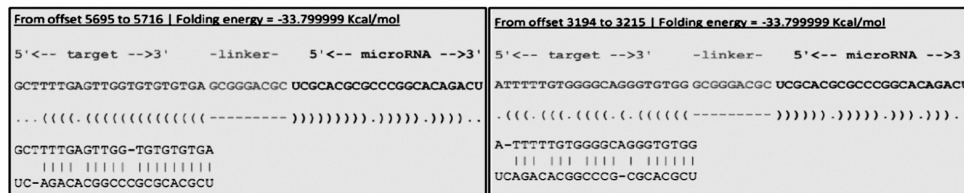
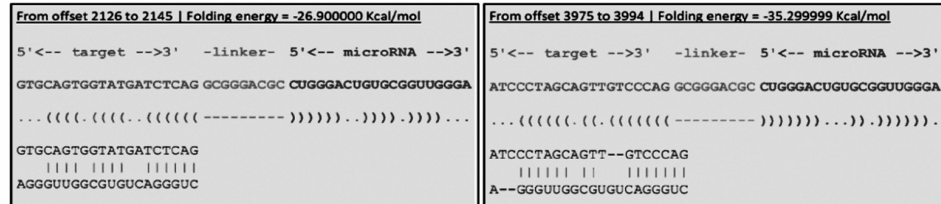
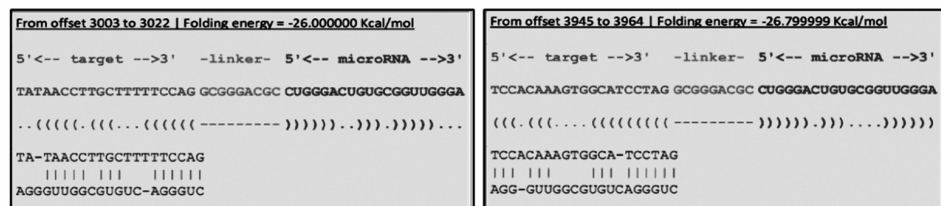
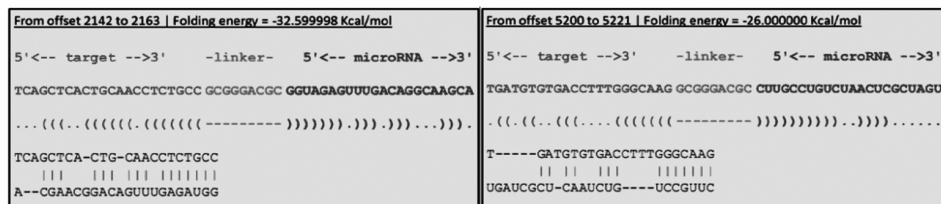
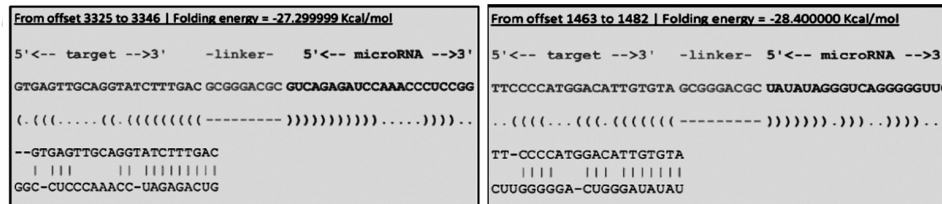
پروتئین Smad4 از لحاظ بیانفورماتیکی توسط microRNAهای LAT هدف‌گیری می‌شود. نتایج بررسی الگوریتم‌های گوناگون مبتنی بر میزان انرژی دورشتهای microRNA-mRNA یا محافظت شده بودن جایگاه‌های اتصال یا نحوه اتصال انتهای ۵' هر microRNA نشان می‌دهد که microRNAهای ویروسی تولید شده از رونوشت LAT در نواحی گوناگون ۳' ژن Smad4 دارای جایگاه اتصال است. الگوریتم RNA22 با بخش اصلی متصل شونده تمام قد حداقل ۶ نوکلئوتیدی و حداقل اتصال جفت باز ۱۴ نوکلئوتید بین دورشته ۲۵ کیلوکارلی بر مول microRNA-mRNA و انرژی اتصال ۱۰ جایگاه اتصال را برای LAT را روی توانست ۱۰ ژن Smad4 معرفی نماید (شکل ۱). چهار جایگاه

به کمک QIAZOL Lysis Reagent (QIAGEN, Germany) شدن و طبق دستورالعمل شرکت سازنده RNA کل سلول‌ها استخراج شد. شرح برنامه به اختصار به این ترتیب بود که پس از لیز سلول‌ها توسط QIAZOL، محتوی RNA می‌موجود در فاز آبی تشکیل شده روی سطح آبی، طی فرایند رسوب‌دهی با RNA آب‌گیری شده و رسوب می‌کند. سپس رسوب RNA تشکیل شده توسط اتانول ۷۰ درصد شستشو داده شده و پس از حذف الكل رسوب خشک شده و در ۲۰ میکرولیتر آب بدون RNase- DNase حل می‌شود. در گام بعد ۵ میکروگرم از کل RNA استخراج شده برای ساخت cDNA به کمک کیت (Fermentas, Lithuania) First strand cDNA synthesis kit. استفاده شد. براساس دستورالعمل کیت با ۲۰ واحد آنزیم ترانسکرپتاز معکوس M-MuLV به همراه ۰/۲ میکروگرم آغازگر شش تایی تصادفی و ۲ میکرولیتر از dNTP با غلظت ۱۰ میلی‌مول از روی RNA سلولی cDNA ساخته شد. بیان ژن‌های دخیل در مسیر Smad4 در دو گروه سلولی ترانسفکت شده با pc-LAT و پلاسمید کنترل به کمک روش واکنش زنجیره‌ای پلیمراز کمی ارزیابی شد. طبق دستورالعمل شرکت master mix SYBR® Premix Ex ۶/۲۵ میکرولیتر از سازنده (TAKARA, Japan) Taq™ II (به همراه ۰/۸ میکرومول از آغازگر سنس و آنتی‌سنس (جدول ۱ ب) و ۱ میکرولیتر از cDNA به عنوان الگو در یک واکنش به حجم نهایی ۱۲/۵ میکرولیتر به کار برد شد. واکنش‌ها به صورت دوبار تکرار (Corbett Life Sciences) Rotor-Gene 6000 در دستگاه (Relative Quantification) در حالی مورد تجزیه و تحلیل قرار گرفت که بیان هر ژن در هر گروه با بیان ژن Hprt-1 به عنوان یک ژن کنترل داخلی در همان گروه یکسان‌سازی شد. نتایج حاصل براساس الگوریتم REST 2009 (Relative Expression Software Tool V2.0.13, QIAGEN, GmbH, Germany).

ارزیابی و گزارش شد.

وضعیتی که miR-H2 و miR-H7 هیچ‌گونه جایگاهی روی ۳' UTR Smad4 ندارد؛ miR-H3 دارای بیشترین جایگاه (۴ جایگاه) و miR-H2* دارای قوی‌ترین جایگاهها برای کترل بیان این ژن است.

پیش‌بینی شده توسط این نرم‌افزار دارای انرژی بیش از -۳۰ کیلوکالری بر مول است که این میزان انرژی اتصال (Folding) بین دو رشته microRNA-mRNA می‌تواند تأیید کننده احتمال اتصال این دو رشته به هم باشد. براساس نتایج RNA22 در

جایگاه‌های اتصال^{*} miR H2*جایگاه‌های اتصال^{*} miR-H3جایگاه اتصال^{*} miR-H4جایگاه اتصال^{*} miR-H4جایگاه اتصال^{*} miR-H5جایگاه اتصال^{*} miR-H8

شکل ۱ نرم‌افزار RNA22 جایگاه اتصال هر microRNA را به ناحیه ۳' غیر کد شونده ژن Smad4 به صورت فوق پیش‌بینی کرده است.

تأثیر بیان رونوشت وابسته به نهفتگی بر مسیر TGF- β

جدول ۲ دو نرم افزار RNA22 و TargetScan با دو پایه محاسباتی گوناگون احتمال اتصال microRNA های ویروسی را با ناحیه 3' UTR Smad4 مورد بررسی قرار می دهد. نرم افزار RNA22 با تکیه بر انرژی اتصال دو رشته microRNA-mRNA پیش بینی های خود را نمایان می کند. در این گزارش صرفاً اتصالاتی آمده است که انرژی آنها بیش از ۲۵ کیلوکالری بر مول است. نرم افزار TargetScan با الگوریتمی متفاوت و با تأکید بر نحوه اتصال بخش اصلی متصل شونده هر microRNA و میزان حفاظت شدگی جایگاه هدف طی تکامل میزان اتصال را پیش بینی می کند. در این نرم افزار در صورتی که اتصال از جایگاه ۸-۲ بخش اصلی متصل شونده باشد و به علاوه در جایگاه ۱ هدف نوکلئوتید A باشد بخش اصلی متصل شونده به صورت m8 گزارش می شود و در قوی ترین وضعیت خود قرار دارد. اگر اتصال از جایگاه ۷-۷ بخش اصلی متصل شونده باشد و نوکلئوتید ۸ هم در اتصال شرکت کند بخش اصلی متصل شونده را ۷mer-m8 گزارش می کند و در زمانی که اتصال از جایگاه ۷-۲ بخش اصلی متصل شونده باشد و نوکلئوتید ۱ هم A باشد بخش اصلی متصل شونده به صورت 7mer-1A گزارش می شود.

| نتایج تجزیه و تحلیل TargetScan | | نتایج تجزیه و تحلیل RNA22 | | نام microRNA |
|--------------------------------|--------------------------|--|--------------------------|--------------|
| ناحیه اتصال بر اساس کیلوکالری | جایگاه هدف بر روی 3' UTR | ناحیه اتصال بخش اصلی متصل شونده به هدف | جایگاه هدف بر روی 3' UTR | |
| Smad4 | زن | Smad4 | زن | |
| بر مول | | بر مول | | |
| 8 mer | ۲۲۰-۲۱۰ | - | - | miR-H2 |
| - | - | -۳۳/۷۹ | ۵۷۱۶-۵۶۹۵ | miR-H2* |
| - | - | -۳۳/۷۹ | ۳۲۱۵-۳۱۹۴ | |
| - | - | -۳۵/۲۹ | ۳۹۹۴-۳۹۷۵ | |
| - | - | -۲۶/۹ | ۲۱۲۶-۲۱۴۵ | miR-H3 |
| - | - | -۲۶/۷۹ | ۳۹۶۴-۳۹۴۵ | |
| - | - | -۲۶/۰۰ | ۳۰۲۲-۳۰۰۳ | |
| - | - | -۲۶/۰۰ | ۵۲۲۱-۵۲۰۰ | miR-H4 |
| 7mer-m8 | ۶۳۷-۶۲۶ | -۳۲/۵۹ | ۲۱۴۲-۲۱۶۳ | miR-H4* |
| 7mer-1A | ۱۴۰۰-۱۴۰۷ | - | - | |
| - | - | -۲۷/۲۹ | ۳۳۲۵-۳۳۴۶ | miR-H5 |
| - | - | - | - | miR-H7 |
| - | - | -۲۸/۰۰ | ۱۴۶۳-۱۴۸۲ | miR-H8 |

بررسی بیان ژن‌ها براساس واکنش زنجیره‌ای پلیمراز کمی

رونوشت LAT بیان پروتئین Smad4 را کاهش می دهد. ۶۰ ساعت پس از ترانسفکت سلول‌های نوروبلاستومای BE-2(c) توسط سازه pc-LAT به عنوان گروه آزمون و ناقل خالی به عنوان گروه کنترل، سلول‌ها به منظور بررسی بیان ژن‌های دخیل در مسیر TGF- β Smad4 برداشت شدند. از سلول‌ها تمامی RNA استخراج شد و به طور همزمان cDNA برای بررسی بیان mRNA و microRNA تهیه شد و به کمک روش واکنش زنجیره‌ای پلیمراز کمی سطح رونوشت‌های ژن‌های Smad4, CDK2, cyclinD, Myc گروه آزمون مورد ارزیابی نسبی نسبت به گروه کنترل قرار گرفت. تجزیه و

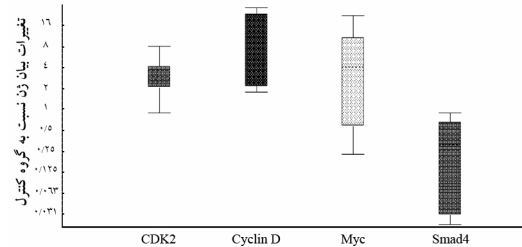
نرم افزار TargetScan نیز با وجود داشتن الگوریتمی متفاوت نسبت به RNA22 هدف‌گیری رونوشت Smad4 با microRNA های LAT را پیش‌بینی می کند. ساختار الگوریتمی غیر منعطف و سخت گیرانه TargetScan اگرچه دامنه پیش‌بینی نرم افزار را محدود می کند ولی درستی پیش‌بینی را افزایش می دهد. براساس الگوریتم این نرم افزار که بر محافظت شدگی جایگاه‌ها در طول دوره‌های تکاملی و ساختار انتهایی ۵ microRNA متتمرکز شده است و توجهی به سطح انرژی جفت‌شدنی دو رشته و نحوه اتصال سر ۳' قطعه miR-H2 و miR-H4* ندارد، تنها دو microRNA با سه جایگاه در Smad4 3' UTR گزارش شده است. نتایج پیش‌بینی این دو نرم افزار به صورت مقایسه‌ای در جدول ۲ مشاهده می شود.

دیگر مسیرهای پیامرسانی داخل سلولی گزارش نشده است. مسیر β TGF در بسیاری از فرایندهای سلولی اعم از رشد و تکامل جنینی، تمایز سلولی، مرگ برنامه‌ریزی شده و عملکردهای سلولی دخیل است. در مسیر β TGF- پروتئین Smad4 به عنوان یکی از کلیدی‌ترین پروتئین‌های این مسیر، به عنوان یک فاکتور رونویسی حدواتسط عمل کرده و ژنهای هدف را کنترل می‌نماید [۱۳-۱۵].

رونوشت LAT که از ژنی به طول $8/3$ کیلوباز تولید می‌شود پس از پیرایش، طولی حدود ۲ کیلوباز از آن حذف می‌شود و به صورت فعال وارد سیتوپلاسم می‌شود. تاکنون از این رونوشت کد شدن پروتئین مشخصی گزارش نشده است [۱۶، ۱۷]. مطالعات اخیر نشان داده‌اند که microRNA‌های مشتق شده از LAT می‌توانند به عنوان بازووهای عملکردی این رونوشت عمل کرده و سیستم‌های سلولی میزان را متأثر کند [۷]. در این تحقیق پس از ترانسفکت سازه محتوی LAT به داخل سلول پس از ۶۰ ساعت به دلیل پروموتور قوی ناقل میزان، بیان microRNA‌های ویروسی به صورت بسیار چشمگیری از سلول‌های کنترل که به طور کلی فاقد microRNA‌ی ویروسی بودند، افزایش پیدا کرد. این در حالی بود که میزان بیان

microRNA miR-H6 که یکی microRNA ویروس HSV-1 است و مشتق از LAT نیست در این سلول‌ها تغییری پیدا نکرد. اگرچه به صورت رایج محل اثر microRNA را در سطح بیان پروتئین و متوقف کردن فرایند ترجمه می‌دانند ولی تحقیقات نشان داده است که در پستانداران mRNA‌ها به صورت چشمگیری سطح mRNA‌های هدفشان را پایین می‌آورند و به ادعای دکتر جوو (Guo) و همکارانش ناپایدار کردن mRNA‌ی هدف، اصلی‌ترین نقش microRNA در پستانداران به منظور کنترل بیان ژنهای مورد نظر است [۱۸]. براساس این گزارش؛ بررسی کمی سطح بیان mRNA هدف با واکنش زنجیره‌ای پلیمراز کمی می‌تواند شاخص مناسبی برای آزمون اثر microRNA بر رونوشت‌های هدفش باشد. نتایج آزمون نشان داد که رونوشت LAT به صورت

تحلیل نتایج به دست آمده به وسیله نرمافزار REST نشان داد که سطح رونوشت Smad4 به صورت کاملاً معنی‌داری کاهش یافته است به صورتی که نسبت به گروه کنترل به عدد ۰/۱۳۲ رسیده که نشانگر $7/57$ برابر کاهش است. تغییرات سطح بیان ژن در ژنهای CDK2 و Myc اگرچه به ترتیب به صورت میانگین $2/5$ و $2/1$ برابر نسبت به گروه کنترل افزایش یافت ولی نرمافزار REST این میزان تغییر را معنی‌دار محاسب نکرد. از سویی دیگر ژن cyclinD با افزایش بیان کاملاً معنی‌داری برابر با میانگین $6/72$ برابر مواجه بود (نمودار ۱).



نمودار ۱ میزان بیان چهار ژن Smad4، MYC، CyclinD، CDK2 به کمک واکنش زنجیره‌ای پلیمراز کمی آزموده و به وسیله نرمافزار REST نتایج تجزیه و تحلیل شد. نرمافزار نتایج حاصل از تکرارهای گوناگون را به صورت تصادفی نسبت به هم آزمون کرده و نتایج کار که توسط خود نرمافزار به صورت نمودار ویشکر (Whisker-Box Plot) (از این میانگین، در بردارنده کمینه و بیشینه و پراکنده) این نتایج است؛ در حالی که میانگین هر وضعیت به صورت نقطه‌چین در داخل نمودار مشخص شده است. این نمودار قادر است علاوه بر میانگین پراکنش نتایج را نسبت به وضعیت میانه و براساس میزان پراکنش نتایج معنی‌داری تفاوت‌ها را مشخص کند ($P < 0.01$).

بحث

در این تحقیق سعی شد تأثیر رونوشت LAT و microRNA‌های تولیدی آن بر تنظیم مسیر TGF- β ارزیابی شود. نتایج حاصل از کلیه پژوهش‌های گذشته نشان می‌دهد که توجه اکثر محققین در مطالعه زیست‌شناسی LAT بر تأثیر این رونوشت بر مکانیسم خفتگی ویروس و ممانعت از اعمال مرگ برنامه‌ریزی شده در سلول‌های میزان مرکز است. تاکنون تحقیق مشخصی روی آثار دیگر این RNA غیر کتدنده روی

تأثیر بیان رونوشت وابسته به نهفتگی بر مسیر TGF- β

به محاسبات REST از نظر آماری معنی دار نبود. به طور کلی با توجه به نتایج حاصل می‌توان گفت که microRNAهای مشتق از رونوشت LAT ویروس HSV-1 قادر است مسیر TGF- β را با مهار پروتئین کلیدی Smad4 متوقف کند. با توجه به این که مسیر TGF- β در بیماری‌های گوناگونی از قبیل فیروزها و بدخیمی‌ها دخیل است، مهار این مسیر به کمک LAT microRNA می‌تواند به عنوان مسیری که هدف بسیاری از داروهای شیمیایی و نوترکیب است، مورد توجه قرار گیرد.

تشکر و قدردانی

این تحقیق از رساله دکتری رشته ویروس‌شناسی دانشکده علوم پزشکی دانشگاه تربیت مدرس استخراج شده است. در ضمن بدين‌وسیله نویسندهان مقاله از حمایت‌های مالی دانشگاه تربیت مدرس و مرکز تحقیقات فناوری بنیاخته تشکر و قدردانی می‌نمایند.

معنی داری سطح mRNAهای Smad4 را کاهش داده است. برای تأیید این آزمون گروهی دیگر از ژن‌های کلیدی و پایین دست ژن Smad4 نیز بررسی شد. ژن CyclinD به عنوان یک پروتئین مهم در تنظیم رفتار و تکثیر سلولی که با حضور خود باعث افزایش تکثیر سلولی می‌شود، یکی از پروتئین‌هایی است که تحت کنترل Smad4 قرار دارد. پروتئین Smad4 به کمک حدواسط p21 که یک ممانعت کننده کینازهای وابسته به سایکلین است بیان CyclinD را تحت کنترل دارد به طوری که تحقیقات نشان داده که ممانعت از بیان Smad4 منجر به افزایش بیان CyclinD می‌شود [۲۰، ۱۹]. در این تحقیق نیز افزایش بیان CyclinD می‌تواند بیانگر کاهش Smad4 باشد. از سویی دیگر مطالعات گوناگونی تأیید می‌کند که ژن‌هایی دیگر در پایین دست مسیر TGF- β از قبیل Myc و CDK2 با مهار شدن Smad4 افزایش بیان پیدا می‌کند [۲۱-۲۳]. در این مطالعه نشان داده شد که رونوشت LAT باعث کاهش معنی دار بیان Smad4 و به همراه آن افزایش بیان CDK2 و Myc می‌شود؛ اگرچه افزایش بیان این دو ژن احیر با توجه

منابع

- [1] Mador N, Goldenberg D, Cohen O, Panet A, Steiner I. Herpes simplex virus type 1 latency-associated transcripts suppress viral replication and reduce immediate-early gene mRNA levels in a neuronal cell line. *J Virol* 1998; 72(6): 5067-75.
- [2] Allen SJ, Hamrah P, Gate D, Mott KR, Mantopoulos D, Zheng L, Town T, Jones C, von Andrian UH, Freeman GJ, Sharpe AH, Benmohamed L, Ahmed R, Wechsler SL, Ghiasi H. The role of LAT in increased CD8+ T cell exhaustion in trigeminal ganglia of mice latently infected with herpes simplex virus 1. *J Virol* 2011; 85(9): 4184-97.
- [3] Perng GC, Jones C, Ciacci-Zanella J, Stone M, Henderson G, Yukht A, Slanina SM, Hofman FM, Ghiasi H, Nesburn AB, Wechsler SL. Virus-induced neuronal apoptosis blocked by the herpes simplex virus latency-associated transcript. *Science* 2000; 287(5457): 1500-3.
- [4] Henderson G, Peng W, Jin L, Perng GC, Nesburn AB, Wechsler SL, Jones C. Regulation of caspase 8- and caspase 9-induced apoptosis by the herpes simplex virus type 1 latency-associated transcript. *J Neurovirol* 2002; 8 Suppl 2: 103-11.
- [5] Bloom DC. HSV LAT and neuronal survival. *Int Rev Immunol* 2004; 23(1-2): 187-98.

- [6] Carpenter D, Hsiang C, Brown DJ, Jin L, Osorio N, BenMohamed L, Jones C, Wechsler SL. Stable cell lines expressing high levels of the herpes simplex virus type 1 LAT are refractory to caspase 3 activation and DNA laddering following cold shock induced apoptosis. *Virology* 2007; 369(1): 12-8.
- [7] Umbach JL, Kramer MF, Jurak I, Karnowski HW, Coen DM, Cullen BR. MicroRNAs expressed by herpes simplex virus 1 during latent infection regulate viral mRNAs. *Nature* 2008; 454(7205): 780-3.
- [8] Umbach JL, Wang K, Tang S, Krause PR, Mont EK, Cohen JI, Cullen BR. Identification of viral microRNAs expressed in human sacral ganglia latently infected with herpes simplex virus 2. *J Virol* 2010; 84(2): 1189-92.
- [9] Shen W, Sa e Silva M, Jaber T, Vitvitskaia O, Li S, Henderson G, Jones C. Two small RNAs encoded within the first 1.5 kilobases of the herpes simplex virus type 1 latency-associated transcript can inhibit productive infection and cooperate to inhibit apoptosis. *J Virol* 2009; 83(18): 9131-9.
- [10] Gómez-Santos C, Ambrosio S, Ventura F, Ferrer I, Reiriz J. TGF-beta1 increases tyrosine hydroxylase expression by a mechanism blocked by BMP-2 in human neuroblastoma SH-SY5Y cells. *Brain Res* 2002; 958(1): 152-60.
- [11] Sun Y, Fei T, Yang T, Zhang F, Chen YG, Li H, Xu Z. The suppression of CRMP2 expression by bone morphogenetic protein (BMP)-SMAD gradient signaling controls multiple stages of neuronal development. *J Biol Chem* 2010; 285(50): 39039-50.
- [12] Mira H, Andreu Z, Suh H, Lie DC, Jessberger S, Consiglio A, San Emeterio J, Hortiguera R, Marqués-Torrejón MA, Nakashima K, Colak D, Götz M, Fariñas I, Gage FH. Signaling through BMPR-IA regulates quiescence and long-term activity of neural stem cells in the adult hippocampus. *Cell Stem Cell* 2010; 7(1): 78-89.
- [13] Moustakas A, Souchelnytskyi S, Heldin CH. Smad regulation in TGF-beta signal transduction. *J Cell Sci* 2001; 114(Pt 24): 4359-69.
- [14] ten Dijke P, Hill CS. New insights into TGF-beta-Smad signalling. *Trends Biochem Sci* 2004; 29(5): 265-73.
- [15] Schuster N, Kriegstein K. Mechanisms of TGF-beta-mediated apoptosis. *Cell Tissue Res* 2002; 307(1): 1-14.
- [16] Peng W, Jin L, Henderson G, Perng GC, Brick DJ, Nesburn AB, Wechsler SL, Jones C. Mapping herpes simplex virus type 1 latency-associated transcript sequences that protect from apoptosis mediated by a plasmid expressing caspase-8. *J Neurovirol* 2004; 10(4): 260-5.
- [17] Kent JR, Kang W, Miller CG, Fraser NW. Herpes simplex virus latency-associated transcript gene function. *J Neurovirol* 2003; 9(3): 285-90.
- [18] Guo H, Ingolia NT, Weissman JS, Bartel DP. Mammalian microRNAs predominantly act to decrease target mRNA levels. *Nature* 2010; 466(7308): 835-40.
- [19] Teng Y, Sun AN, Pan XC, Yang G, Yang LL, Wang MR, Yang X. Synergistic function of Smad4 and PTEN in suppressing forestomach squamous cell carcinoma in the mouse. *Cancer Res* 2006; 66(14): 6972-81.

تأثیر بیان رونوشت وابسته به نهفتگی بر مسیر TGF- β

- [20] Qiao W, Li AG, Owens P, Xu X, Wang XJ, Deng CX. Hair follicle defects and squamous cell carcinoma formation in Smad4 conditional knockout mouse skin. *Oncogene* 2006; 25(2): 207-17.
- [21] Trinh BQ, Barengo N, Naora H. Homeodomain protein DLX4 counteracts key transcriptional control mechanisms of the TGF- β cytostatic program and blocks the antiproliferative effect of TGF- β . *Oncogene* 2011; 30(24): 2718-29.
- [22] Liu R, Zhou Z, Huang J, Chen C. PMEPA1 promotes androgen receptor-negative prostate cell proliferation through suppressing the Smad3/4-c-Myc-p21 Cip1 signaling pathway. *J Pathol* 2011; 223(5): 683-94.
- [23] Baughn LB, Di Liberto M, Niesvizky R, Cho HJ, Jayabalan D, Lane J, Liu F, Chen-Kiang S. CDK2 phosphorylation of Smad2 disrupts TGF-beta transcriptional regulation in resistant primary bone marrow myeloma cells. *J Immunol* 2009; 182(4): 1810-7.